

р-3908
6000/5/6

5

ISSN 1560-4128

ЭВ
&
ЭС

ЭЛЕКТРОМАГНИТНЫЕ ВОЛНЫ И ЭЛЕКТРОННЫЕ СИСТЕМЫ

6'2000

[www. webcenter.ru/~iprzhr/](http://www.webcenter.ru/~iprzhr/)

т. 5

В НОМЕРЕ :

*Новый метод вычисления
собственных чисел
спектральной задачи Орра-Зоммерфельда*

*Оценка времени прихода
и длительности сигнала*

*Модели надежных
телекоммуникационных сетей*



Тел./факс: (095) 925-9241
E-mail: iprzhr@online.ru
<http://www.webcenter.ru/~iprzhr/>

Журнал переводится на английский язык
и издается компанией Begell House, Inc. под названием
TELECOMMUNICATIONS AND RADIO ENGINEERING

ПОДПИСНОЙ ИНДЕКС 71961 В КАТАЛОГЕ АГЕНТСТВА "РОСПЕЧАТЬ": ГАЗЕТЫ И ЖУРНАЛЫ

Информационно-измерительные системы

УДК 391.621.01

Оценка времени прихода и длительности сигнала*

А. П. Трифонов, Ю. Э. Корчагин

Установлена структура максимально правдоподобного измерителя; найдены асимптотические характеристики совместных оценок максимального правдоподобия времени прихода и длительности разрывного сигнала произвольной формы; на примере прямоугольного импульса со скошенной вершиной показано, что проигрыш в эффективности оценивания одного параметра вследствие незнания другого может быть существенно выше, чем для прямоугольного импульса; приведены результаты статистического моделирования оценок.

The structure of a maximum likelihood gauge is established. The asymptotic characteristics of joint maximum likelihood estimations of arrival time and duration of discontinued arbitrary signal waveform are found. On an example of a rectangular pulse with oblique top it is shown, that the precision loss of one parameter estimation because of ignorance another parameter can be much higher, than for a rectangular pulse. The statistical modeling results of estimations are presented.

Введение. В [1] исследована совместная оценка максимального правдоподобия (ОМП) времени прихода и длительности прямоугольного импульса. Однако реальные условия генерации и распространения приводят к необходимости оценивания времени прихода и длительности сигнала, форма которого отличается от прямоугольной.

Пусть наблюдается реализация случайного процесса

$$x(t) = s(t, \lambda_0, \tau_0) + n(t). \quad (1)$$

Здесь $n(t)$ — белый гауссовский шум с односторонней спектральной плотностью N_0 , а полезный сигнал

$$s(t, \lambda, \tau) = f(t) I[(t - \lambda)/\tau], \quad (2)$$

где $f(t)$ — непрерывная функция, описывающая форму сигнала; $I(x) = 1$ при $|x| \leq 1/2$ и $I(x) = 0$ при $|x| > 1/2$; λ_0, τ_0 — истинные значения времени прихода и длительности. Полагаем, что в моменты появления $t = \theta_{01} = \lambda_0 - \tau_0/2$ и исчезновения $t = \theta_{02} = \lambda_0 + \tau_0/2$ сигнала (2) функция $f(t)$ не обращается в нуль, $f(\lambda_0 \pm \tau_0/2) \neq 0$, т. е. сигнал (2) является разрывным [2–4].

Обозначим

$$L(\lambda, \tau) = \frac{2}{N_0} \int_{\lambda - \tau/2}^{\lambda + \tau/2} f(t) x(t) dt - \frac{1}{N_0} \int_{\lambda - \tau/2}^{\lambda + \tau/2} f^2(t) dt \quad (3)$$

— логарифм функционала отношения правдоподобия (ФОП). Тогда ОМП $\hat{\lambda}$ и $\hat{\tau}$ определяются как координаты абсолютного (наибольшего) максимума случайного поля (3) при $(\lambda, \tau) \in \Lambda$. Полагаем, что область Λ задана неравенствами $|\lambda| \leq \Lambda_0/2$; $T_1 \leq \tau \leq T_2$. Ограничимся аналогично [1] рассмотрением надежных ОМП. Нетрудно убедиться [5], что аномальные ошибки отсутствуют, если

$$\Lambda_0 \leq T_1. \quad (4)$$

Действительно, подставляя в (3) реализацию наблюдаемых данных (1), получаем

* Приведенные результаты получены при поддержке Российского фонда фундаментальных исследований.

$$L(\lambda, \tau) = S(\lambda, \lambda_0, \tau, \tau_0) - \frac{1}{2} Q(\lambda, \tau) + N(\lambda, \tau).$$

Здесь сигнальная функция [5]

$$S(\lambda, \lambda_0, \tau, \tau_0) = \frac{\tilde{z}^2}{\tau_0} \int_{\max(\lambda_0 - \tau_0/2, \lambda - \tau/2)}^{\min(\lambda_0 + \tau_0/2, \lambda + \tau/2)} f^2(t) dt, |\lambda - \lambda_0| \leq (\tau + \tau_0)/2; \quad (5)$$

$$S(\lambda, \lambda_0, \tau, \tau_0) = 0, |\lambda - \lambda_0| > (\tau + \tau_0)/2;$$

$Q(\lambda, \tau) = S(\lambda, \lambda, \tau, \tau); \tilde{z}^2 = 2\tau_0/N_0$ — отношение сигнал-шум (ОСШ) для прямоугольного импульса с длительностью τ_0 и единичной амплитудой.

Шумовая составляющая $N(\lambda, \tau)$ является центрированным гауссовским случайным полем, корреляционная функция которого $K_N(\lambda_1, \lambda_2, \tau_1, \tau_2) = S(\lambda_1, \lambda_2, \tau_1, \tau_2)$. Согласно (5) $S(\lambda, \lambda_0, \tau, \tau_0) \neq 0$ для всех $(\lambda, \lambda_0, \tau, \tau_0) \in \Lambda$, когда выполняется (4).

Асимптотическая совместная плотность вероятности оценок. Для определения ОМП $\hat{\lambda}$ и $\hat{\tau}$ перейдем аналогично [1] к новым параметрам

$$\theta_1 = \lambda - \tau/2, \theta_2 = \lambda + \tau/2 \quad (6)$$

— положениям переднего и заднего фронтов сигнала (2). Обозначим область их возможных значений Θ . Очевидно, что линейные преобразования (6) взаимно однозначны, поэтому определив характеристики ОМП положений фронтов $\hat{\theta}_1$ и $\hat{\theta}_2$, можно затем найти характеристики ОМП $\hat{\lambda} = (\hat{\theta}_1 + \hat{\theta}_2)/2$ и $\hat{\tau} = \hat{\theta}_2 - \hat{\theta}_1$ времени прихода и длительности. Для параметров θ_1, θ_2 логарифм ФОП (3) принимает вид

$$L(\theta_1, \theta_2) = L_1(\theta_1) + L_2(\theta_2),$$

где

$$L_1(\theta_1) = \frac{2}{N_0} \int_{\theta_1}^{\theta} f(t) x(t) dt - \frac{1}{N_0} \int_{\theta_1}^{\theta} f^2(t) dt; \quad (7)$$

$$L_2(\theta_2) = \frac{2}{N_0} \int_{\theta}^{\theta_2} f(t) x(t) dt - \frac{1}{N_0} \int_{\theta}^{\theta_2} f^2(t) dt; \quad (8)$$

θ — фиксированная точка из интервала $[-(T_1 - \Lambda_0)/2, (T_1 - \Lambda_0)/2]$. Поскольку (7) и (8) содержат интегралы от гауссовского белого шума на неперекрывающихся интервалах, то $L_1(\theta_1)$ и $L_2(\theta_2)$ — статистически независимые гауссовые случайные процессы. Следовательно, положение максимума случайного поля $L(\theta_1, \theta_2)$ по переменным θ_1 и θ_2 можно искать раздельно как положения максимумов случайных процессов (7) и (8), соответственно $\hat{\theta}_i = \arg \sup L_i(\theta_i)$, $(\theta_1, \theta_2) \in \Theta_a$. Здесь область Θ_a — квадрат минимальной площади со сторонами параллельными осям θ_1 и θ_2 , включающий в себя Θ [1]. Область Θ_a задается неравенствами

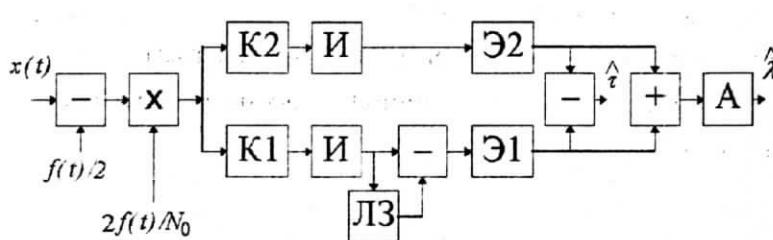


Рис. 1

$$-\beta \leq \theta_1 \leq -\alpha; \alpha \leq \theta_2 \leq \beta; \quad (9)$$

$$\alpha = (T_1 - \Lambda_0)/2; \beta = (T_2 + \Lambda_0)/2.$$

Возможная структурная схема максимально правдоподобного измерителя времени прихода и длительности представлена на рис. 1, где $K1$ и $K2$ — ключи, замкнутые на отрезках времени $[-\beta, \theta]$ и $[\theta, \beta]$; I — интеграторы; LZ — линия задержки на время

$\theta + \beta$; Э1 и Э2 — экстрематоры, определяющие положения абсолютных максимумов сигналов на отрезках времени $[\theta, \theta + \beta - \alpha]$ и $[\alpha, \beta]$ соответственно; А — аттенюатор с коэффициентом передачи 1/2.

Определим аппроксимацию плотности вероятности ОМП $\hat{\theta}_1$ и $\hat{\theta}_2$ для области Θ_a . Аналогично [1] искомую аппроксимацию плотности вероятности представим в виде

$$W_a(\theta_1, \theta_2) = W_{1\theta}(\theta_1)W_{2\theta}(\theta_2), \quad (10)$$

где $W_{1\theta}(\theta_1)$ и $W_{2\theta}(\theta_2)$ — плотности вероятностей положений абсолютных максимумов реализаций случайных процессов $L_1(\theta_1)$ (7) и $L_2(\theta_2)$ (8) на интервалах $[-\beta, -\alpha]$ и $[\alpha, \beta]$ соответственно.

Рассмотрим статистические характеристики процессов $L_1(\theta_1)$ и $L_2(\theta_2)$, которые согласно (7) и (8) представляют собой линейные преобразования гауссовского случайного процесса $x(t)$ и, следовательно, сами являются гауссовскими. Поэтому для их полного статистического описания достаточно найти математические ожидания и корреляционные функции. Выполняя усреднение, получаем

$$S_1(\theta_1) = \langle L_1(\theta_1) \rangle = \frac{2}{N_0} \int_{\max(\theta_1, \theta_{01})}^{\theta} f^2(t) dt - \frac{1}{N_0} \int_{\theta_1}^{\theta} f^2(t) dt; \quad (11)$$

$$S_2(\theta_2) = \langle L_2(\theta_2) \rangle = \frac{2}{N_0} \int_{\theta}^{\min(\theta_2, \theta_{02})} f^2(t) dt - \frac{1}{N_0} \int_{\theta}^{\theta_2} f^2(t) dt; \quad (12)$$

$$K_1(\theta_{11}, \theta_{21}) = \left\langle [L_1(\theta_{11}) - \langle L_1(\theta_{11}) \rangle][L_1(\theta_{21}) - \langle L_1(\theta_{21}) \rangle] \right\rangle = \frac{2}{N_0} \int_{\max(\theta_{11}, \theta_{21})}^{\theta} f^2(t) dt; \quad (13)$$

$$K_2(\theta_{12}, \theta_{22}) = \left\langle [L_2(\theta_{12}) - \langle L_2(\theta_{12}) \rangle][L_2(\theta_{22}) - \langle L_2(\theta_{22}) \rangle] \right\rangle = \frac{2}{N_0} \int_{\theta}^{\min(\theta_{12}, \theta_{22})} f^2(t) dt. \quad (14)$$

Далее будем полагать, что выходное ОСШ для принятого сигнала достаточно велико

$$z_0^2 = \frac{2}{N_0} \int_{\theta_{01}}^{\theta_{02}} f^2(t) dt \gg 1. \quad (15)$$

В этом случае положения максимумов случайных процессов $L_1(\theta_1)$ и $L_2(\theta_2)$ располагаются в малых окрестностях истинных значений θ_{01}, θ_{02} параметров θ_1, θ_2 [5]. Следовательно, при достаточно больших ОСШ необходимо исследовать поведение случайных процессов (7) и (8) в малых окрестностях точек θ_{01} и θ_{02} . Полагая $\Delta = \max \{|\theta_i - \theta_{0i}|, |\theta_{ij} - \theta_{0j}| \} \rightarrow 0$, $i, j = 1, 2$, для средних значений (11), (12) и корреляционных функций (13), (14) находим асимптотические разложения

$$S_i(\theta_i) = \frac{\sigma_i^2}{2} - \frac{z_i^2}{2\tau_0} |\theta_i - \theta_{0i}| + o(\Delta); \quad (16)$$

$$K_i(\theta_{1i}, \theta_{2i}) = \sigma_i^2 + z_i^2 \min \left[(-1)^i (\theta_{1i} - \theta_{0i}), (-1)^i (\theta_{2i} - \theta_{0i}) \right] / \tau_0 + o(\Delta), \quad (17)$$

$$\text{где } \sigma_1^2 = \frac{2}{N_0} \int_{\theta_{01}}^{\theta} f^2(t) dt; \sigma_2^2 = \frac{2}{N_0} \int_{\theta}^{\theta_{02}} f^2(t) dt; z_i^2 = \tilde{z}^2 f^2(\theta_{0i}), i = 1, 2.$$

Величину z_i^2 можно интерпретировать как ОСШ для прямоугольного импульса длительностью τ_0 с амплитудой $f(\theta_{0i})$.

Поскольку положения максимумов процессов (7) и (8) располагаются в малой окрестности истинных значений θ_{01}, θ_{02} , будем аппроксимировать математические ожидания (11), (12) и корреляционные функции (13), (14) главными членами асимптотических разложений (16), (17) на интервалах $[-\beta, -\alpha]$ и $[\alpha, \beta]$ при $i=1$ и $i=2$ соответственно.

Рассмотрим случайный процесс $L_2(\theta_2)$ (8). Используя теорему Дуба [6], а также (16) и (17), можно показать, что в малой окрестности точки θ_{02} процесс $L_2(\theta_2)$ является асимптотически марковским с коэффициентами сноса и диффузии

$$k_1 = \frac{z_2^2}{2\tau_0} \begin{cases} 1, & \alpha \leq \theta_2 \leq \theta_{02}; \\ -1, & \theta_{02} < \theta_2 \leq \beta; \end{cases} \quad k_2 = \frac{z_2^2}{\tau_0}.$$

Используя марковские свойства [6] процесса (8), получаем аналогично [1] асимптотическую плотность вероятности положения абсолютного максимума процесса $L_2(\theta_2)$

$$W_{2\theta}(\theta_2) = \frac{z_2^2}{2\tau_0} \begin{cases} \Psi \left[\frac{z_2^2}{2\tau_0} (\theta_{02} - \theta_2), \frac{z_2^2}{2\tau_0} (\theta_{02} - \alpha), \frac{z_2^2}{2\tau_0} (\beta - \theta_{02}) \right], & \alpha \leq \theta_2 \leq \theta_{02}; \\ \Psi \left[\frac{z_2^2}{2\tau_0} (\theta_2 - \theta_{02}), \frac{z_2^2}{2\tau_0} (\beta - \theta_{02}), \frac{z_2^2}{2\tau_0} (\theta_{02} - \alpha) \right], & \theta_{02} < \theta_2 \leq \beta, \end{cases} \quad (18)$$

где

$$\Psi(y, y_1, y_2) = \frac{1}{2\sqrt{\pi}y^{3/2}} \left[\Phi \left(\sqrt{\frac{y_1 - y}{2}} \right) + \frac{1}{\sqrt{\pi(y_1 - y)}} \exp \left(-\frac{y_1 - y}{4} \right) \right] \times$$

$$\times \int_0^\infty \xi \exp \left[-\frac{(\xi + y)^2}{4y} \right] \left\{ \Phi \left(\frac{y_2 + \xi}{\sqrt{2y_2}} \right) - \exp(-\xi) \Phi \left(\frac{y_2 - \xi}{\sqrt{2y_2}} \right) \right\} d\xi;$$

$$\Phi(x) = \int_{-\infty}^x \exp(-t^2/2) dt / \sqrt{2\pi} — интеграл вероятности.$$

Математическое ожидание и корреляционная функция случайного процесса $L_1(\theta_1)$ (7) при замене переменной $\chi = -\theta_1$ с точностью до замены σ_1 на σ_2 и z_1 на z_2 совпадают с аналогичными характеристиками процесса $L_2(\theta_2)$. Следовательно, учитывая указанные замены, можем сразу записать асимптотическое распределение положения абсолютного максимума процесса $L_1(\theta_1)$ в виде

$$W_{1\theta}(\theta_1) = \frac{z_1^2}{2\tau_0} \begin{cases} \Psi \left[\frac{z_1^2}{2\tau_0} (\theta_{01} - \theta_1), \frac{z_1^2}{2\tau_0} (\theta_{01} + \beta), -\frac{z_1^2}{2\tau_0} (\alpha + \theta_{01}) \right], & -\beta \leq \theta_1 \leq \theta_{01}; \\ \Psi \left[\frac{z_1^2}{2\tau_0} (\theta_1 - \theta_{01}), -\frac{z_1^2}{2\tau_0} (\alpha + \theta_{01}), \frac{z_1^2}{2\tau_0} (\theta_{01} + \beta) \right], & \theta_{01} < \theta_1 \leq -\alpha. \end{cases} \quad (19)$$

Точность выражений (18), (19) возрастает с увеличением ОСШ (15).

Если сигнал имеет вид прямоугольного импульса с амплитудой A_r , так что $f(t) \equiv A_r$, то $z_1^2/2\tau_0 = z_2^2/2\tau_0 = z^2 A_r^2/2\tau_0$ и (18), (19) полностью совпадают с аналогичными выражениями, найденными в [1].

Согласно (6), (10) совместная плотность вероятности ОМП $\hat{\lambda}$ и $\hat{\tau}$ при $(\lambda, \tau) \in \Lambda_a$ имеет вид

$$W_a(\lambda, \tau) = W_{1\theta}(\lambda - \tau/2) W_{2\theta}(\lambda + \tau/2). \quad (20)$$

Область Λ_a соответствует Θ_a (9). Она отличается от действительной области возможных значений оцениваемых параметров Λ , однако, как показано в [1], включает в себя все точки области Λ .

Асимптотические характеристики оценок. Введем в рассмотрение нормированные ошибки ОМП времени прихода и длительности сигнала (2)

$$\mu = (\hat{\lambda} - \lambda_0) z_1 z_2 / \tau_0; \nu = (\hat{\tau} - \tau_0) z_1 z_2 / 2\tau_0.$$

Переходя в (18)–(20) к новым переменным и полагая $z_0 >> 1$, находим предельную двумерную плотность вероятности нормированных ошибок совместных оценок [1]

$$W_2(\mu, \nu) = \frac{1}{2} W_0\left(\frac{\mu - \nu}{2}\right) W_0\left(\frac{\mu + \nu}{2}\right). \quad (21)$$

Здесь

$$W_0(x) = 3 \exp(-2|x|) \left[1 - \Phi\left(3\sqrt{\frac{|x|}{2}}\right) \right] + \Phi\left(\sqrt{\frac{|x|}{2}}\right) - 1 \quad (22)$$

— предельная плотность вероятности нормированной ошибки ОМП одного параметра разрывного сигнала при условии, что второй параметр известен. Свойства плотности вероятности (22) изучены и описаны в [4]. Плотность вероятности (22) существенно отличается от гауссовой, имеет нулевые математическое ожидание и коэффициент асимметрии [4], обладает дисперсией 13/2, коэффициентом эксцесса 1779/169 ≈ 10,53 и четвертым моментом 1143/4.

Совместная плотность вероятности (21) позволяет рассчитать асимптотические значения смещений, рассеяний и коэффициента корреляции ОМП $\hat{\lambda}$ и $\hat{\tau}$:

$$b(\hat{\lambda}|\lambda_0, \tau_0) = \langle \hat{\lambda} - \lambda_0 \rangle = 0; \quad b(\hat{\tau}|\lambda_0, \tau_0) = \langle \hat{\tau} - \tau_0 \rangle = 0; \quad (23)$$

$$V(\hat{\lambda}|\lambda_0, \tau_0) = \langle (\hat{\lambda} - \lambda_0)^2 \rangle = 13\tau_0^2/z^4; \quad (24)$$

$$V(\hat{\tau}|\lambda_0, \tau_0) = \langle (\hat{\tau} - \tau_0)^2 \rangle = 52\tau_0^2/z^4; \quad (25)$$

$$K_1(\hat{\lambda}, \hat{\tau}|\lambda_0, \tau_0) = \frac{\langle (\hat{\lambda} - \lambda_0)(\hat{\tau} - \tau_0) \rangle}{\sqrt{\langle (\hat{\lambda} - \lambda_0)^2 \rangle \langle (\hat{\tau} - \tau_0)^2 \rangle}} = (q^2 - q^{-2})/(q^2 + q^{-2}); \quad (26)$$

$$q^2 = z_1^2/z_2^2 = f^2(\lambda_0 - \tau_0/2)/f^2(\lambda_0 + \tau_0/2); \quad z^2 = z_1^2 z_2^2 \sqrt{2/(z_1^4 + z_2^4)}. \quad (27)$$

— обобщенное ОСШ для сигнала (2).

В частном случае, когда сигнал имеет прямоугольную форму, т. е. $f(t) \equiv A_r$ и $q = 1$, характеристики совместных оценок времени прихода и длительности (23)–(26) принимают вид

$$\begin{aligned} b_r(\hat{\lambda}|\lambda_0, \tau_0) &= 0; \quad b_r(\hat{\tau}|\lambda_0, \tau_0) = 0; \\ V_r(\hat{\lambda}|\lambda_0, \tau_0) &= 13\tau_0^2/z_r^4; \quad V_r(\hat{\tau}|\lambda_0, \tau_0) = 52\tau_0^2/z_r^4; \\ K_{1r}(\hat{\lambda}, \hat{\tau}|\lambda_0, \tau_0) &= 0; \quad z = \tilde{z}A_r = z_r, \end{aligned} \quad (28)$$

что полностью совпадает с аналогичными выражениями, найденными в [1]. Как видно из (28), совместные оценки времени прихода и длительности прямоугольного импульса некоррелированы, следовательно, между ними отсутствует линейная статистическая зависимость. Однако рассеяния совместных ОМП (28) в 2 раза превышают рассеяния соответствующих раздельных оценок [2, 3], что свидетельствует о существовании между $\hat{\lambda}$ и $\hat{\tau}$ нелинейной статистической взаимосвязи. Количественно охарактеризовать эту связь можно коэффициентом корреляции между квадратами ошибок оценок [1], который для сигнала (2) асимптотически равен

$$K_2 = \frac{\left\langle (\mu^2 - \langle \mu^2 \rangle)(\nu^2 - \langle \nu^2 \rangle) \right\rangle}{\sqrt{\left\langle (\mu^2 - \langle \mu^2 \rangle)^2 \right\rangle \left\langle (\nu^2 - \langle \nu^2 \rangle)^2 \right\rangle}} = \frac{2117(q^4 + q^{-4})/4 - 169}{2117(q^4 + q^{-4})/4 + 169}. \quad (29)$$

В частном случае прямоугольного импульса при $q=1$ коэффициент квадратичной корреляции $K_{2r} = 1779/2455 \approx 0,725$ [1].

Для того чтобы охарактеризовать влияние отклонения формы импульса от прямоугольной на характеристики ОМП времени прихода и длительности, введем в рассмотрение отношения

$$\kappa = \frac{V(\hat{\lambda}|\lambda_0, \tau_0)}{V_r(\hat{\lambda}|\lambda_0, \tau_0)} = \frac{V(\hat{\tau}|\lambda_0, \tau_0)}{V_r(\hat{\tau}|\lambda_0, \tau_0)} = \frac{1}{2} \tilde{z}^4 A_r^4 \left(\frac{1}{z_1^4} + \frac{1}{z_2^4} \right);$$

$$\kappa_2 = \frac{K_2}{K_{2r}} = \frac{2455}{1779} \frac{2117(q^4 + q^{-4})/4 - 169}{2117(q^4 + q^{-4})/4 + 169}.$$
(30)

Здесь индексом r отмечены характеристики (28) оценок для прямоугольного импульса, длительность которого равна длительности импульса (2), а амплитуда A_r выбирается из условия равенства их энергий

$$A_r^2 \tau_0 = \int_{\theta_{01}}^{\theta_{02}} f^2(t) dt.$$

Теперь рассмотрим влияние априорного незнания одного из параметров сигнала (2) на точность оценки другого. Если длительность τ_0 импульса (2) априори известна, то рассеяние раздельной оценки времени прихода [7]

$$V_0(\hat{\lambda}|\lambda_0) = 13/2\delta_\lambda^2, \quad (31)$$

где

$$\delta_\lambda = \lim_{\Delta\lambda \rightarrow 0+} \{[S(\lambda_0, \lambda_0, \tau_0, \tau_0) - S(\lambda_0, \lambda_0 + \Delta\lambda, \tau_0, \tau_0)]/\Delta\lambda\}. \quad (32)$$

Подставляя (5) в (32) и вычисляя предел, находим

$$\delta_\lambda = (z_1^2 + z_2^2)/2\tau_0. \quad (33)$$

Используя (33), находим рассеяние раздельной ОМП времени прихода (31) в виде $V_0(\hat{\lambda}|\lambda_0) = 26\tau_0^2/(z_1^2 + z_2^2)^2$.

Если же априори известно время прихода λ_0 , то рассеяние раздельной оценки длительности [7]

$$V_0(\hat{\tau}|\tau_0) = 13/2\delta_\tau^2, \quad (34)$$

где

$$\delta_\tau = \lim_{\Delta\tau \rightarrow 0+} \{[S(\lambda_0, \lambda_0, \tau_0, \tau_0) - S(\lambda_0, \lambda_0, \tau_0, \tau_0 + \Delta\tau)]/\Delta\tau\}. \quad (35)$$

Подставляя (5) в (35) и вычисляя предел, находим

$$\delta_\tau = (z_1^2 + z_2^2)/4\tau_0. \quad (36)$$

Согласно (34), (36) рассеяние раздельной ОМП длительности принимает вид $V_0(\hat{\tau}|\tau_0) = 104\tau_0^2/(z_1^2 + z_2^2)^2$.

Проигрыш в эффективности оценивания времени прихода из-за незнания длительности сигнала и проигрыш в эффективности оценивания длительности из-за незнания времени прихода можно охарактеризовать отношением

$$\chi = \frac{V(\hat{\lambda}|\lambda_0, \tau_0)}{V_0(\hat{\lambda}|\lambda_0)} = \frac{V(\hat{\tau}|\lambda_0, \tau_0)}{V_0(\hat{\tau}|\tau_0)} = \frac{1}{4} (q^2 + q^{-2}) (q + q^{-1})^2. \quad (37)$$

Конкретизируем полученные выражения для прямоугольного импульса со скошенной вершиной [8]

$$f(t) = A_r \left[1 + \frac{t}{\tau_0} \left(\frac{1-q}{1+q} \right) \right] \sqrt{1 + \frac{1}{3} \left(\frac{1-q}{1+q} \right)^2}, \quad (38)$$

где параметр q (27) характеризует наклон вершины импульса. Линейная функция $f(t)$, описывающая поведение вершины импульса, нормирована так, что энергия E сигнала (2) не зависит от q . Действитель-

но, $E = \int_{\lambda_0 - \tau_0/2}^{\lambda_0 + \tau_0/2} f^2(t) dt = A_r^2 \tau_0$, т. е. совпадает с энергией прямоугольного импульса, обладающего амплитудой A_r и длительностью τ_0 , при любом наклоне скошенной вершины (38) сигнала (2).

Выберем истинные времена прихода и длительность сигнала (2), (38) таким образом, чтобы соответствующие им истинные моменты появления и исчезновения располагались посередине априорных интервалов их возможных значений, т. е. $\theta_{01} = -(\alpha + \beta)/2$, $\theta_{02} = (\alpha + \beta)/2$; α и β определены в (9). Тогда, используя преобразования (6), получаем

$$\lambda_0 = 0; \quad \tau_0 = (T_2 + T_1)/2. \quad (39)$$

Поскольку истинные моменты появления и исчезновения располагаются посередине априорных интервалов возможных значений, для границ этих интервалов можем записать

$$\theta_{j\min} = \theta_{0j} - \Delta; \quad \theta_{j\max} = \theta_{0j} + \Delta; \quad j = 1; 2, \quad (40)$$

где $\Delta = (\beta - \alpha)/2$ — половина априорного интервала. Обозначая $k = \beta/\alpha = (\tau_0 + 2\Delta)/(\tau_0 - 2\Delta)$, получаем

$$\Delta = \tau_0 (k - 1)/[2(k + 1)]. \quad (41)$$

Подставляя (41) в (40), записываем границы априорных интервалов в виде

$$\theta_{1\min} = -k\tau_0/(k + 1); \quad \theta_{1\max} = -\tau_0/(k + 1); \quad (42)$$

$$\theta_{2\min} = \tau_0/(k + 1); \quad \theta_{2\max} = k\tau_0/(k + 1).$$

Границы области Λ связаны с границами области Θ преобразованиями (6). Применяя эти преобразования к выражениям (42), получаем

$$T_1 = \frac{2\tau_0}{k + 1} + \Lambda_0; \quad T_2 = \frac{2k\tau_0}{k + 1} - \Lambda_0; \quad \Lambda_0 = \tau_0/2. \quad (43)$$

Подставляя (38) в (27), находим асимптотические характеристики ОМП времени прихода и длительности сигнала (38) в виде (23)–(27) и (29), где

$$z^2 = \frac{4 z_0^2 \sqrt{2}/(1+q)^2}{\sqrt{1+q^{-4}} \left(1 + \frac{1}{3} \left(\frac{1-q}{1+q} \right)^2 \right)}. \quad (44)$$

С использованием (24), (25), (28) и (44) величину (30), характеризующую влияние отклонения формы сигнала от прямоугольной на точность ОМП, можно записать как

$$\kappa = \frac{1}{32} (1 + q^{-4}) (1 + q)^4 \left(1 + \frac{1}{3} \left(\frac{1-q}{1+q} \right)^2 \right)^2. \quad (45)$$

На рис. 2 кривой 1 представлена зависимость проигрыша в точности $\chi(q)$ (37) оценки времени прихода вследствие незнания длительности сигнала. Эта кривая также показывает проигрыш в точности оценки длительности вследствие незнания времени прихода сигнала. Кривая 2 показывает проигрыш в точности $\kappa(q)$ (45) совместных ОМП времени прихода и длительности вследствие отличия формы сигнала (2), (38) от прямоугольной. На рис. 3 сплошной линией нанесена зависимость $K_1(q)$ коэффициента корреляции ОМП (26), штриховой — зависимость $K_2(q)$ коэффициента квадратичной корреляции (29). Как следует из рис. 2, по мере роста отличия формы сигнала от прямоугольной (с увеличением наклона вершины импульса) точность ОМП времени прихода и длительности сигнала падает. При этом проигрыш в точности оценок $\kappa(q)$ (45) может быть значительным. Одновременно согласно рис. 3 модуль коэффициентов корреляции (26), (29) приближается к единице и возрастают потери $\chi(q)$ (37) в точности оценки одного из параметров вследствие незнания другого параметра.

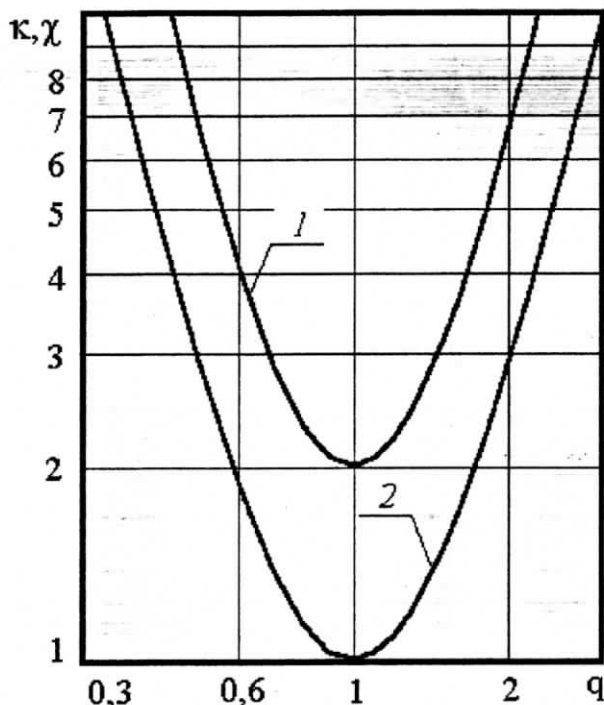


Рис. 2

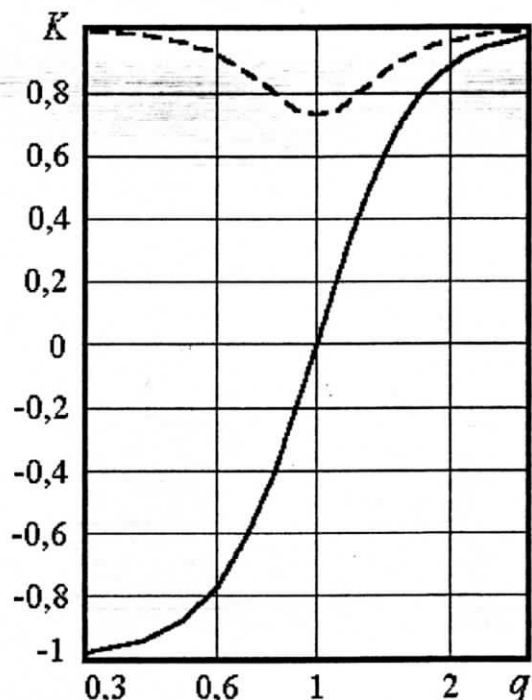


Рис. 3

Результаты статистического моделирования. С целью проверки работоспособности синтезированного алгоритма ОМП, а также установления границ применимости найденных асимптотических выражений для характеристик оценок проводилось статистическое моделирование совместных ОМП $\hat{\lambda}$ и \hat{t} . Моделирование выполнялось для сигнала (2), (38), истинных значений неизвестных параметров (39) и границ области Λ (43). В процессе моделирования воспроизводились отсчеты случайного поля (3) на равномерной двумерной сетке с шагом дискретизации $5 \cdot 10^{-3} \tau_0$. Число обрабатываемых реализаций случайного поля (3) выбиралось так, чтобы с вероятностью 0,9 границы доверительных интервалов отклонялись от экспериментальных значений примерно на 10...15 %.

Экспериментальные данные совместно с теоретическими зависимостями, рассчитанными по асимптотическим формулам (23)–(26), (29), (38) и (44), представлены на рис. 4–6. На рис. 4 показаны зависимости нормированного рассеяния $\varepsilon_\lambda = V(\hat{\lambda}|\lambda_0, \tau_0)/\tau_0^2$ ОМП времени прихода, рассчитанные по (25), от отношения сигнал-шум z_0 (15) для принятого сигнала при $k=4$ и нескольких значений q . На рис. 5 представлены аналогичные зависимости нормированного рассеяния $\varepsilon_t = V(\hat{t}|\lambda_0, \tau_0)/\tau_0^2$ ОМП длительности, рассчитанные по (26). На рис. 4, 5 кривые 1, 2, 3 соответствуют $q=1, 2, 3$. Там же показаны экспериментальные значения нормированных рассеяний для $q=1$ (квадраты), $q=2$ (ромбы) и $q=3$ (кружки).

Степень статистической взаимосвязи ОМП времени прихода и длительности прямоугольного импульса со скошенной вершиной (38) характеризует рис. 6. Поскольку с ростом q значения коэффициентов корреляции (26) и (29) быстро приближаются к единице, на рис. 6, а и б штриховыми линиями приведены зависимости от обобщенного ОСШ z (27) соответственно величин $1-K_1$ и $1-K_2$, представляющие собой дополнения коэффициентов корреляции до единицы. Кривые 1, 2, 3 на рис. 6 соответствуют значениям $q = 1, 2, 3$. Полученные в результате моделирования экспериментальные величины обозначены квадратами для $q=1$, ромбами для $q=2$, кружками для $q=3$. Как видно из рисунков, рассеяния ОМП времени прихода и длительности увеличиваются с ростом q (27), при этом рассеяние ОМП длительности в 4 раза превышает рассеяние оценки времени прихода. Для сигнала непрямоугольной формы рассеяния ОМП времени прихода и длительности могут быть существенно больше рассеяний оценок тех же параметров прямоугольного импульса. Статистическая взаимосвязь между оценками для такого сигнала также может оказаться значительно сильнее, чем в частном случае прямоугольного импульса. Удовлетворительное согласование расчетов по асимптотическим формулам (23)–(26) и (29) с экспериментальными данными наблюдается при значении параметра $z \geq 12$.

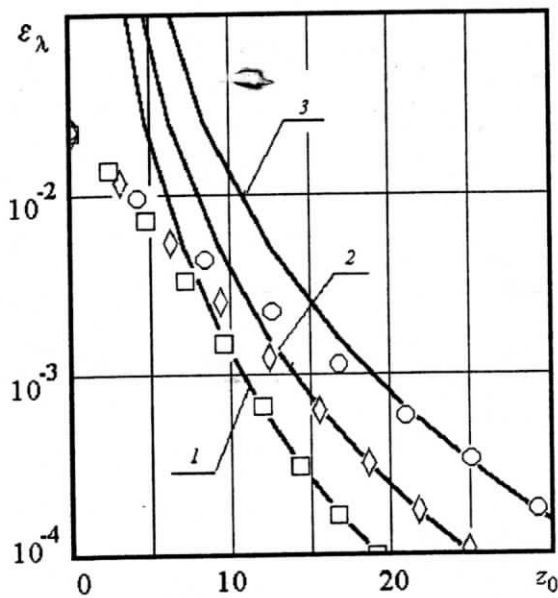


Рис. 4

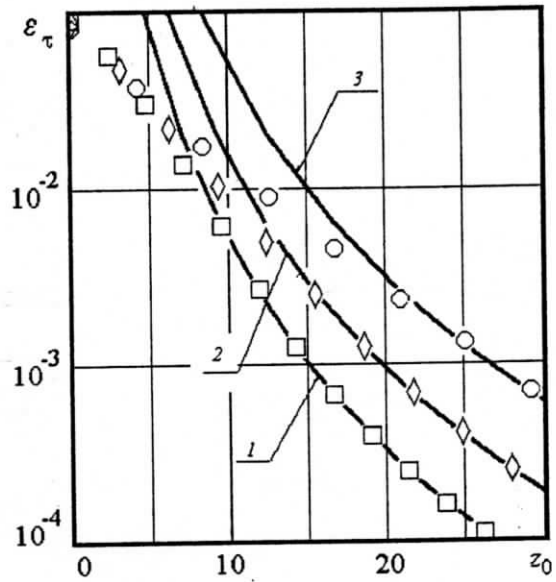
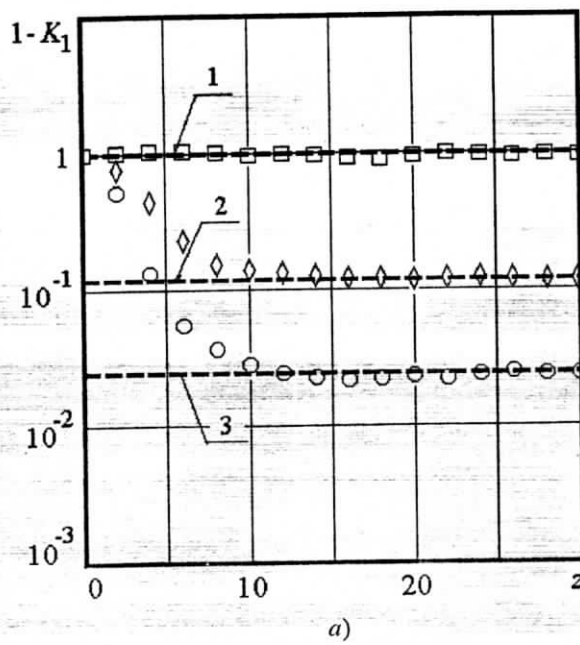
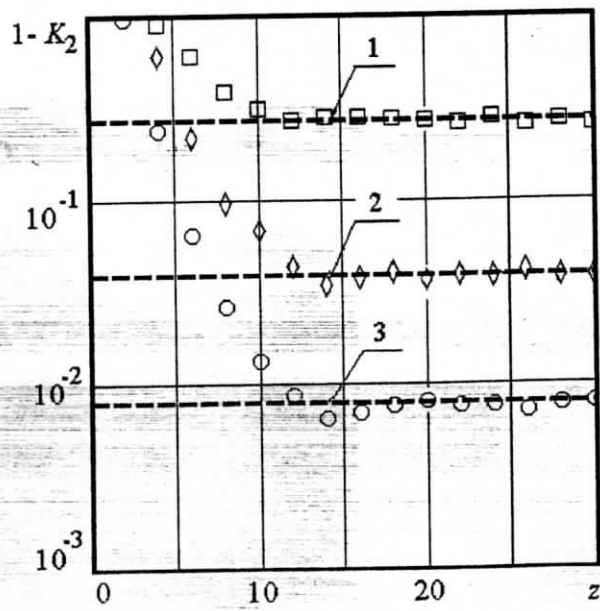


Рис. 5



a)



б)

Рис. 6

- Асимптотические характеристики совместных ОМП времени прихода и длительности сигнала не зависят от его формы, а определяются значениями сигнала в моменты появления и исчезновения. В отличие от совместных ОМП времени прихода и длительности прямоугольного импульса, ОМП времени прихода и длительности произвольного разрывного сигнала оказываются коррелированными. Проигрыш в эффективности оценивания одного из параметров вследствие незнания другого может быть существенно выше, чем для частного случая прямоугольного импульса.

Литература

1. Трифонов А.П., Бутейко В.К. Совместная оценка двух параметров разрывного сигнала на фоне белого шума. — Радиотехника и электроника, 1989, т. 34, №11, с. 2323–2329.
2. Трифонов А.П., Шинаков Ю.С. Совместное различение сигналов и оценка их параметров на фоне помех. — М.: Радио и связь, 1986.
3. Ибрагимов И.А., Хасьминский Р.З. Асимптотическая теория оценивания. — М.: Наука, 1979.
4. Трифонов А.П. Разрывные модели сигналов и оценка их параметров. — Прикладная теория случайных процессов и полей. — Ульяновск: УлГТУ, 1995, с. 164–214.
5. Куликов Е.И., Трифонов А.П. Оценка параметров сигналов на фоне помех. — М.: Сов. радио, 1978.
6. Тихонов В.И., Миронов М.А. Марковские процессы. — М.: Радио и связь, 1977.
7. Трифонов А.П., Бутейко В.К. Характеристики совместных оценок параметров сигнала при частичном нарушении условий регулярности. — Радиотехника и электроника, 1991, т. 36, № 2, с. 319–327.
8. Грязнов М.И., Гуревич М.Л., Рябинин Ю.А. Измерение параметров импульсов. — М.: Радио и связь, 1991.

Поступила 12 июля 1999 г.



Трифонов Андрей Павлович (1944 г. р.) — докт. техн. наук, профессор, зав. кафедрой радиофизики Воронежского государственного университета.
Область научных интересов: статистическая радиофизика и радиотехника, разработка и применение статистических методов для получения, передачи и обработки информации.

Корчагин Юрий Эдуардович (1974 г. р.) — аспирант кафедры радиофизики Воронежского государственного университета.
Область научных интересов: исследование алгоритмов приема разрывных сигналов с неизвестными параметрами.